

工程气体动力学

下 册

苏联 M. E. 傑依奇著

27.86
193
7.2

高等学校教学用書

工程气体动力学

渦輪机的气体动力学基礎

下 册

苏联 M. E. 傑依奇著

徐 華 航譯

苏联文化部高等教育总局批准作为热力專業教材

3K692/98

電 力 工 業 出 版 社

内 容 提 要

这本書講的是渦輪机通路部分气体动力學的一些基本問題，首先扼要地叙述了一元氣流和二元氣流的基本理論，繼而叙述了通路部分特殊的气体动力學問題；也逐一論述了渦輪机噴管中、迴轉式阻擋件中、引射器中和叶柵中的氣流問題，以及蒸汽渦輪中的氣流問題。書中着重討論了關於噴管、引射器和整級渦輪中氣流的各種不同的工作情況；最後論述了研究通路中流动的各种實驗方法。

本書是按苏联文化部批准的教学大綱編寫的，供动力学院渦輪机制造專用作气体动力學基礎這門課程的教材。

本書对渦輪机制造厂实验室和設計科工作的工程技術人員，也有参考价值。

М. Е. ДЕЙЧ

ТЕХНИЧЕСКАЯ ГАЗОДИНАМИКА

根据苏联國立动力出版社 1953 年莫斯科版翻譯

工程气体动力学下册

徐 華 翻譯

*

396•37

电力工业出版社出版(北京市右街26号)

北京市審刊出版總營業部 可准出字第 082 号

北京市印刷一厂排印 新華書店發行

*

787×1092^{毫米}开本 * 10印張 * 181千字 * 定价(第10类)1.30元

1956年10月北京第1版

1956年10月北京第1次印刷(0001—4,100册)

目 录

第七章 叶轮机叶栅中的气流	1
7-1. 叶栅的几何参数和气动参数。叶栅中气流的特点	1
7-2. 叶栅中二元不可压位流的理論研究法	12
7-3. 电位比拟法	23
7-4. 叶栅叶型上的作用力。叶栅的儒柯夫斯基定理	31
7-5. 叶栅的基本特性	37
7-6. 亚音速流下二元叶栅中的摩擦损失	41
7-7. 亚音速流下二元叶栅中的尾迹损失	51
7-8. 二元叶栅的一些低速实验结果	57
7-9. 高亚音速气流流经叶栅。叶栅的临界 M_{∞} 数	64
7-10. 高亚音速流下叶栅的叶型损失	74
7-11. 压差超过临界值时反作用式叶栅中的气流	79
7-12. 超音速气流中的冲击式叶栅	93
7-13. 近音速流和超音速流下叶栅中的损失	97
7-14. 超临界压强差下反作用式叶栅斜切口内气流折角的 计算法	100
7-15. 叶栅中三元流的一些特点	103
第八章 涡轮级中气流的某些特性	117
8-1. 基本方程	117
8-2. 绝对坐标系与相对坐标系上气流的各项参数	125
8-3. 涡轮级 ⁴ 流变化过程的热力图线以及涡轮级的性能	135
8-4. 工作轮叶栅中的折合流量	145
8-5. 长叶片的轴流式涡轮级	151
8-6. 涡轮级的各种工作情况。各种工作情况下的气流参数 及方程	172

8-7. 涡輪級各種工作情況的圖線	185
第九章 涡輪机通路部分的實驗研究法	196
9-1. 實驗研究法的特征概述以及實驗設備的原理示意圖	196
9-2. 靜止条件下的叶栅實驗裝置	202
9-3. 測量氣流各項參數用的測風管	212
9-4. 叶栅氣流的可見研究法	222
9-5. 二元叶栅研究方法中的某些問題	233
9-6. 實驗渦輪	239
參考文獻	243
名詞對照表	245

第七章 叶輪机叶栅中的气流*

7-1. 叶栅的几何参数和气动参数。

叶栅中气流的特点

叶輪机中能量的轉換是靠氣流与固定叶片和迴轉叶片之間的相互作用来完成的，固定叶片組成導向的叶栅，迴轉叶片組成工作輪叶栅。

通常叶輪机的叶栅都是用形狀完全相同的叶片組成的，这些叶片在某个迴轉面上作等間隔的分布。有一种三元叶栅是由徑向叶片組成的，这些叶片位於兩個同心的迴轉圓柱面之間，成为一个叶片环。

氣流通过叶栅时，速度的大小及指向都有所改变。同时就有反作用力作用在叶栅上。在渦輪机的迴轉叶栅上，这种反作用力就产生了机械功；压氣机的迴轉叶栅則恰相反，它是增加氣流的能量的。在固定叶栅里，氣流的动能（速度）作必要的变化，氣流並作一定的折轉，但叶栅与氣流之間並沒有能量的交換。

隨設計条件的不同，因而叶片形狀的几何参数也不同，叶栅基本上可以分为三种类型：

(a) 加速式叶栅——渦輪机的噴嘴叶栅或導向叶栅（固定叶栅），以及反作用式渦輪机的工作輪叶栅（迴轉叶栅）；

(b) 冲击式叶栅——冲击式渦輪机的工作輪叶栅（迴轉叶栅）；

(c) 扩压式叶栅——压氣机的導向叶栅（固定叶栅）以及压

* 本章第7-1至第7-3三节是斯傑潘諾夫(Г.Ю. Степанов)編寫的。

气机的工作叶栅（迴轉叶栅）。

按叶輪机中气流总的运动方向是与迴轉軸一致的，还是和迴轉軸相垂直的，叶輪机分为轴流式和徑流式兩种。此外另有一种叶輪机，气流方向是和迴轉軸成一定的斜角的（这种机器里的叶栅称混合式叶栅）。

环狀叶栅（排列在圓柱面上的叶栅）的主要几何参数計有：平均直徑 d ，叶片長度（即高度） l ，叶栅的寬度 B ，在平均直徑的那个圓周上叶片之間的間隔 t ，叶型的弦長 b ，以及其他叶型参数（圖 7-1）。

規定叶型的形狀有好几种方法。最常用的是座标法（圖

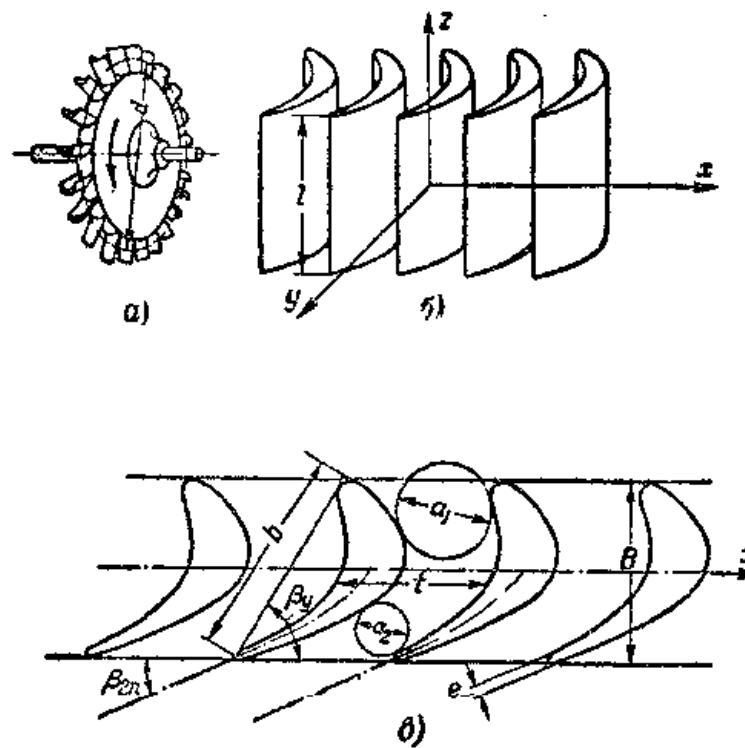


圖 7-1 叶栅的各几何参数
a) 环狀叶栅(排在圓柱面上的叶栅); b) 直列叶栅;
c) 二元叶栅。

7-2a)。圖 7-26 和 b 上的方法是以葉型的中綫為依據畫的，這條中綫就是那些與上下兩面相切的許多內切小圓的圓心連接線，也就是上下兩面的平均綫。

渦輪葉柵的葉型总是很厚的，厚度也很大，而且柵距很小，這種葉型用圖 7-26 和 b 上的方法來畫就不方便了。要求葉型的主要尺寸，要把它畫出來，或是要檢驗它准不准，都得做很複雜的繪圖工作。構作葉型最常用的方法，是用幾段圓弧和直線把它畫出來（圖 7-2c），這種方法並沒有一定的規則，畫起來也很複雜。

只要葉柵的平均直徑 d 比葉片高 l 大得多，為了簡化問題，我們就可以認為這種葉柵是直列葉柵。這就是假定葉片之間的通路形狀在葉片的高度方向保持不變。最簡單的情形是假定葉柵的直徑無限大，葉片的數目和片長都是無限大，這樣就成二元的無限葉柵了（圖 7-1e）。

要從環狀葉柵（圓柱面上的葉柵）變到二元（平面）葉柵，可以用這樣一個想法。在環狀葉柵上取兩個同心圓柱面，一個的直徑取為平均直徑，另一個直徑取為 $d + \Delta d$ 。假定 Δd 是極小的，那樣就可以把這樣取下來的高度極小的一圈葉柵在平面上展開了。使葉片數增為無限大，就得到圖 7-1e 那樣的二元無限葉柵了。

這個二元截面的假設早在 1890 年已為儒柯夫斯基有成效地使用了，現代葉輪機的研究和計算，仍以此假設為基礎。這一假設的價值，

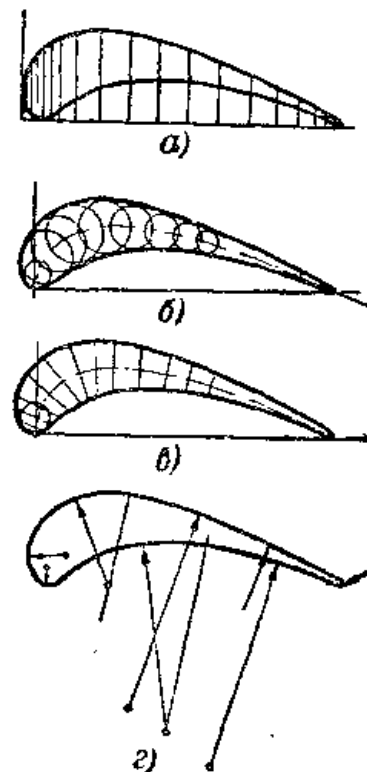


圖 7-2 葉型的各種畫法

已為無數的實驗所證明。

葉柵的幾何特徵，照例是用無因次量來表示的。例如，葉型之間的相對柵距定為

$$\bar{t} = \frac{t}{b} \text{ 或 } \bar{t}_B = \frac{t}{B}.$$

葉片的相對高度（或相對長度）是

$$\bar{l}_a = \frac{l}{b}.$$

有時在研究葉柵中的三元氣流時，葉片最合理的相對高度定為

$$\bar{l}_a = \frac{l}{a_2},$$

式中 a_2 ——葉片間氣流通路的最狹處尺寸（圖 7-18）。

直列葉柵可以給它一套直角座標系 x 、 y 、 z ，並使 x 軸指向葉柵的軸線方向（圖 7-16）。只要使葉片沿葉柵軸線移動過去，那末一切葉片彼此都是應該重合的。葉柵的柵距等於兩相鄰葉片上任何兩對應點之間的距離。

葉型給定之後，葉片間的通路形狀除決定於柵距之外，還決定於安裝角 β_1 ，這是葉柵軸線與葉型弦線之間的角度（圖 7-18）。在渦輪葉柵的實際設計工作中，葉型在葉柵中的位置往往用後緣的幾何角 β_2 （這是葉型中線在後緣點的切線與葉柵軸線之間的角度）來表明。有的時候（後緣附近是直線的葉型） β_2 角是按葉型外凸面在後緣點的直線計算的。

低速時，葉柵中的能量損失是粘性和氣流的周期性所造成的，還有氣流中的高度紊流度也有關係；在近音速流和超音速流中，那就還有衝波中能量不可逆的變化，這對於葉輪機的效率都是大有關係的。

在設計葉柵時，除了要滿足構造上的一些要求之外，還必須保證以最低的損失完成指定的能量轉換。這就需要仔細地研究葉

栅中的流动过程了。重大問題之一，就是要确定叶片形状和叶栅的其他各项几何参数怎样影响叶輪机的效率，即要确定在很寬广的工作范围内(进气角、 M 数和 Re 数很大的变化范围内)效率如何变化的问题。

叶輪机叶栅中的流动过程是一种極复杂的流体力学过程。要从理論上来解决这样非定型的三元粘性可压流动是很困难的。与解决大多数工程問題一样，这类問題的正确解决途径，應該是研究实际过程的简化模型，这个简化模型只保有最主要的因素，次要因素的影响以后再分析再計算。

現在研究得最完善的是定型的理想不可压流流过二元叶栅的周期气流。这种流动可以看作是叶栅中低速($M < 0.3 - 0.5$)粘性影响很小(大雷諾数 $Re > 10^4 - 10^5$)的实际流动的極限情况。

在这样的简化范围内，就可以确立叶栅中位流的一些基本特征了。但在这样的前提下所获得的解答，是需要大加修正的。關於粘性的影响以及可压性的影响，有理論的和實驗的估計法可用。

實驗的結果使我們得以估計叶栅中三元气流的某些特点，使我們获得了进行叶輪机热力計算所必需的叶栅性能。

現在以反作用式渦輪叶栅(圖7-3)为例，我們来看一看理想不可压流体在叶栅中的位流运动的某些特点。由於气流在各叶片上是重复的，只拿兩叶片間的一股气流来看，或是拿繞一片叶型的气流来看就行了。圖 7-3a 上的实綫是 $\Psi = \text{常数}$ 的一些流綫；虛綫則是与流綫相垂直的， $\Phi = \text{常数}$ 的一些等位綫。这样的網綫够密的話，就可以很好地說明流动。气流中某点的速度 c 等於

$$c = \frac{d\Phi}{dS} = - \frac{d\Psi}{dn}, \quad (7-1)$$

式中 S 和 n ——沿流綫及等位綫的曲綫座标。

微分可以近似地代以有限差：

$$c \approx \frac{\Delta \Phi}{\Delta S} \approx -\frac{\Delta \psi}{\Delta n}.$$

若 $\Delta \Phi = \Delta \psi = \text{常数}$ ，則每一点的 $\Delta \varsigma \approx \Delta n$ 。这样，由許多 $\Phi = \text{常数}$ 的曲綫及 $\psi = \text{常数}$ 的曲綫所划成的正交網格，当 $\Delta S \rightarrow 0, \Delta n \rightarrow 0$ 时，便都成了方格了，因此理想不可压流的網格称为方的網格。

流动的另一重要特征是它的速端曲綫(圖7-36)。每条流綫和每条等位綫在速度面上必定有它对应的几何位置，这几何位置就是該流綫或等位綫上的諸速度矢的端头。速度面上这些几何位置也構成正交的網格，这种網格不妨就把它看作是速度面上某种流动的網格，速度面上的边界是叶型表面上的那些速度矢的端点，流动可以看作是由 c_1 速度矢的端点上存在一个渦泉流，以及速度 c_2 端点上存在一个渦漂流相合成的，这个 c_1 速度就是由無限远流向叶栅来的流速， c_2 則是流出叶栅之后的速度。 O, c_1, c_2 三点構成叶栅的速度三角形。根据叶栅前后流量必等这个条件

$$c_1 t \sin \beta_1 = c_2 t \sin \beta_2,$$

可知， c_1 和 c_2 在叶栅額綫(軸綫)的法綫上的二投影必相等，或者說，在速度面上， c_1, c_2 兩速度矢的端点的連接綫必平行於叶栅的額綫。我們看了叶栅的速端曲綫可以斷言，在叶型背面上，其切綫与叶栅前后無限远处的二流速指向相平行的那兩点，其速度必大於对应的 c_1 和 c_2 。

我們最有兴趣的是叶型表面上的速度分布或压强分布。圖7-36上画的是無因次速度 $\bar{c} = \frac{c}{c_2}$ 的分布曲綫和压强系数 $\bar{p} =$

$\frac{p - p_2}{\frac{1}{2} \rho c_2^2} = 1 - \bar{\delta}^2$ 的分布曲綫的例子，这两条曲綫都是对叶型的弧長 S 画的。只要給定由無限远前方流向叶栅来的速度值 c_1 及指向 β_1 ，再給定气流的离去点 O_2 (后緣点)，那在已知叶栅中的流

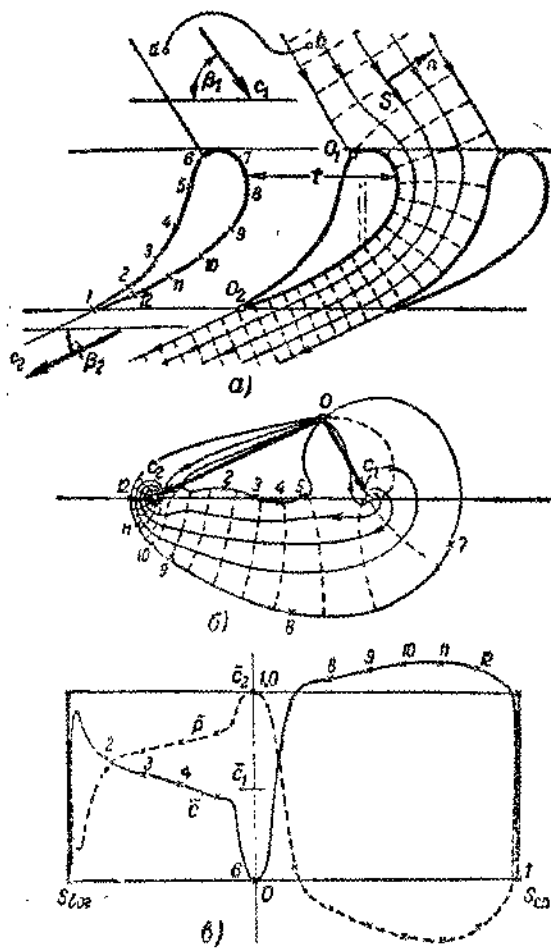


图 7-3 理想不可压缩流体流过反作用式叶栅
 a) 等位线和流线; b) 出口断面流线; c) 叶型上的无因次速度分布曲线及压强系数分布曲线。

动就是完全定了的。如果是理想的不可压缩流，那在速度值 c_1 有变化时，流线形状、等位线形状、还有无因次速度值或压强系数都不随着变化。

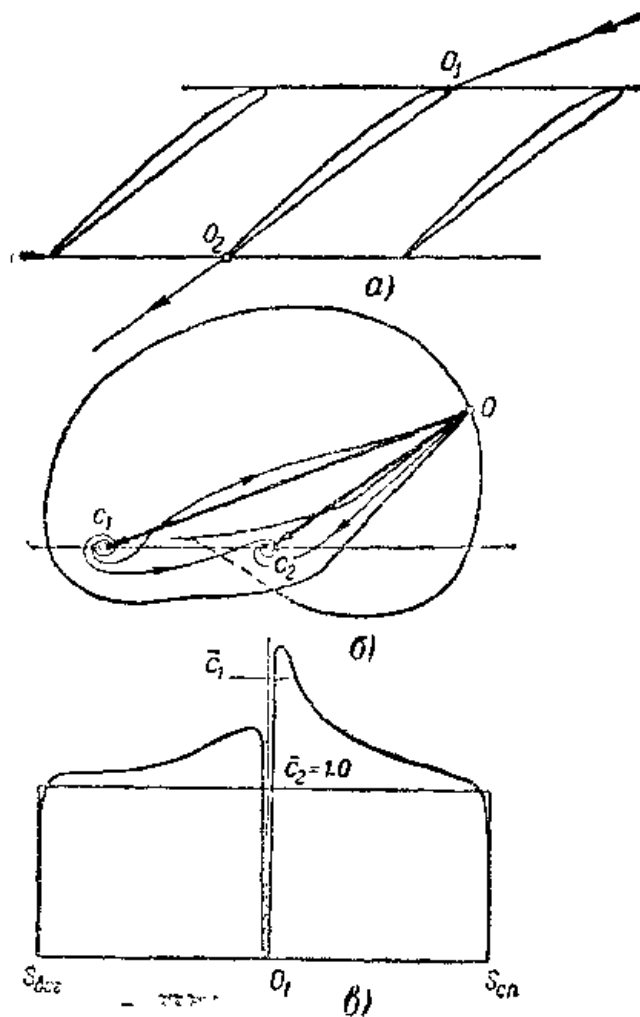


圖 7-4A 理想不可壓流體流過壓氣機葉柵
a) 葉柵的葉型; b) 速端曲線; c) 葉型上的無因次
速度分布曲線。

当离叶栅的距离未达无限远之前，速度场和压强场都不是均匀的。流线呈波纹状 ($\beta_1 \neq 90^\circ$ 时)，其指向与无限远处的指向作周期地偏离。根据连续条件，在没有涡时，任何一条曲线 ab (图 7-3a) 上的平均速度必是常数，並等於无限远处的速度，只要这两点之间的距离是栅距 t 的整倍数，而且 a 和 b 是两个对应的

点。有一条流线在叶型的前缘分路，这条流线是和前缘成正交的。在分路点 O_1 上（又名进气点）速度降为零，压强达最大值。由分路点起（该点的 $S=0$ ，图 7-3b），叶型表面上的速度迅速上升。要看前缘的形状如何，还要看进气的指向（进气角 β_1 ）如何，在分路点附近，可以有一个最大速度，也可以有两个最大速度。叶型背面的平均速度大于腹面上的平均速度，平均压强则小于腹面上的平均压强。关于叶型上的速度分布一般特征，我们可以根据叶片间通路的宽度及叶型曲线的弯曲加以估计。例如，反作用式涡轮叶栅，通路是收缩的，这就使气流进行加速；冲击式叶栅、叶型之间通路的宽度和曲率几乎是不变的，那末速度和压强值就变化得很少（图 7-4）；压气机叶栅、叶片间通路是扩张的，速度便是下降的（图 7-4A）。

叶型凸起段的曲率增大时速度增大，反之使速度减小。曲率有突变时，例如在两段圆弧的连接点，理论上说来，压强分布曲线和速度分布曲线的切线都应该是铅直的。在叶型的凸角上，理论上说来，速度应高达无限大，而在凹角上，速度降为零。

由于在实际气流里上述这些速度分布的特点是不可能实现的，所以现代叶栅所用的叶型，其周线的曲率变化总是很缓和的。

在其有一定厚度①的后缘附近，速度也像前缘附近一样，有一个或两个最大值，理论上说来，速度在离去点降为零；这个离去点应该使它恰在曲率有剧变的后缘点上。出了叶栅很远之后，气流的指向就为 β_2 角所代表了。

图 7-5 上表示反作用式涡轮叶栅的叶型，它的无因次速度分布曲线怎样受进气角 β_1 、栅距 t 以及安装角 β_3 的影响。进气角 β_1 改变时（图 7-5 a），叶型上气流的分路点 O_1 移动位置。叶栅

① 无限薄的后缘这里不谈，因为它没有实用价值。

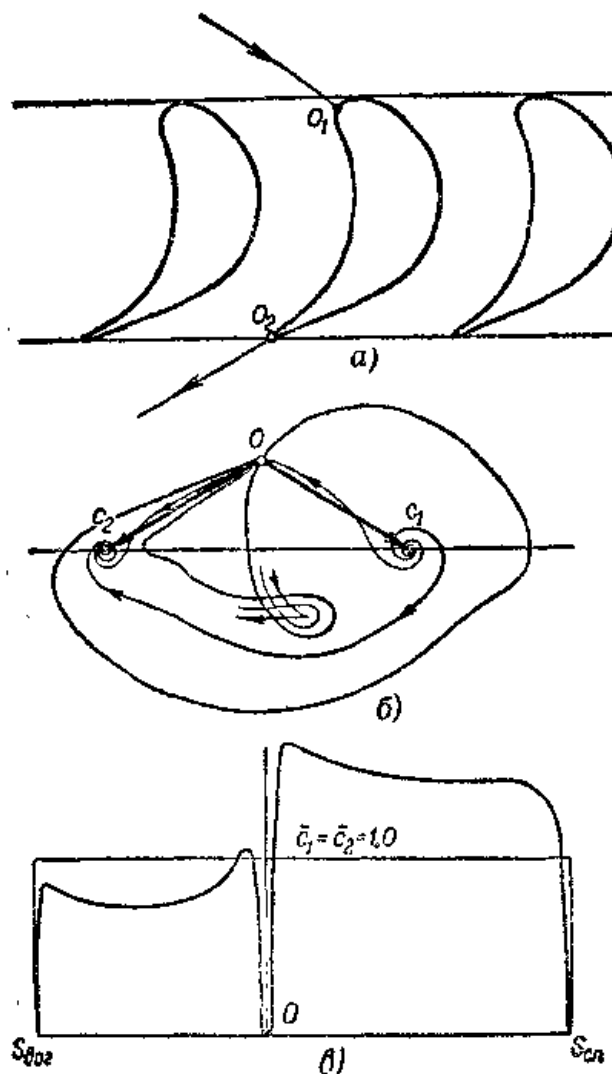


圖 7-4 理想不可壓流體流過衝擊式葉柵
 a) 衝擊式葉型; b) 速端曲線; c) 葉型上的無
 因次速度分布曲線。

的計算進氣角，應該可以是恰使分路點 O_1 與葉型前緣的最大曲率點相合的那个進氣角。這樣就可以免除或大大減輕前緣附近過分顯著的最大速度。進氣角減小，氣流分路點向葉型的腹面方向移動，氣流流經前緣，速度有急劇的升高。出氣的速度矢 c_2 向進

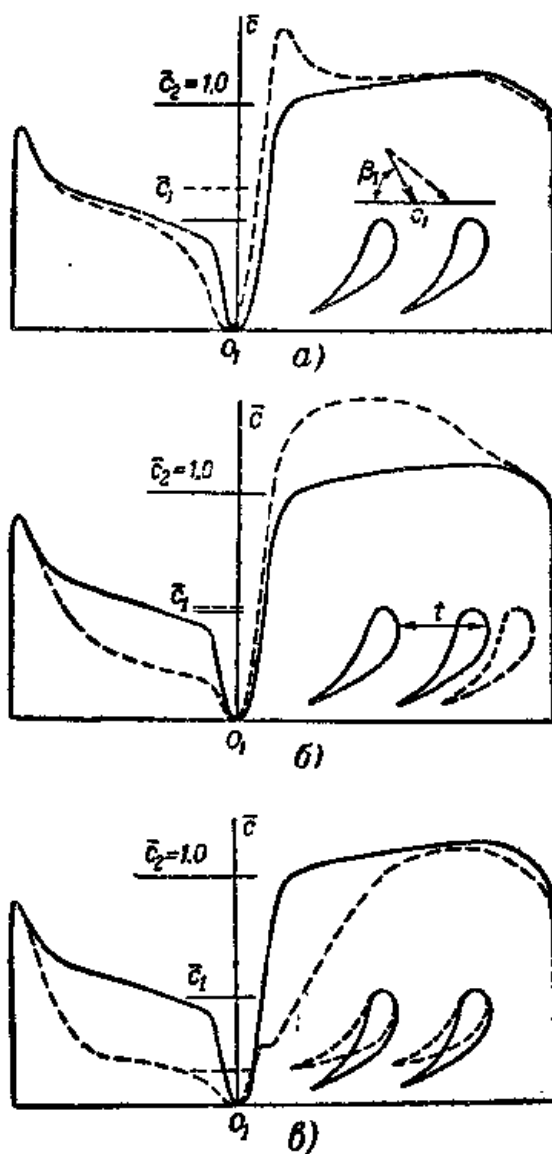


圖 7-5 叶栅叶型上無因次速度分布的变化
a) 进气角 β_1 有变化; b) 框隔 t 有变化; c) 安装角
 β_2 有变化。

气速度矢的方向转动；例如，减少进气角 β_1 时，出气角 β_2 增大。但这里要指出，在实用的叶栅中，进气角对出气角的影响是极小的。栅距 t 增大（图 7-5b）、叶型平行地移开时（进气角 β_1 不

变)，气流的分路点略微向叶型的腹面有点位移；对应地，前緣上的速度分布也有些变化。叶型背面上的速度增大了，腹面上的速度減小了。出气角 β_2 增大了。叶型的安裝角改变，即整个叶型轉了一个角度，但栅距及进气角都仍旧，这时出气角 β_2 的变化簡直就等於叶型所轉动的角度(圖 7-5 e)。叶型的轉动方向是減小出气角 β_2 的話，叶型上的無因次速度下降；气流分路点 O_1 向叶型的腹面方向位移，同时前緣附近速度分布的变化很像进气角 β_1 減小时所起的变化。

在叶型上压强增加的地段(扩压段)里，实际的粘性气流可能与叶型分离。实验指明，在分离点之后，叶型上有相当長的一段，压强都是一样的。分离气流的特点，可以近似地用所謂理想流体的射流流型理論去計算。这种理論假定气流中存在有一塊等压区，在这个区域的边界上，流速是定值，其值与該区内部的压强相对应。在速度面上，分离区边界上的速度是一段定半徑的圆弧，半徑的長度等於分离区边界上的速度值。分离总是在后半段上产生；分离区，理論上說来，是要伸延到無限远的后方去的。如果进出气角都相同的话，与前面說过的那种無分离的流型比起来，有分离时叶栅后方的流速是增大了。在分离区的边界上，速度有突变。在实际的粘性流体里，速度这样的突变必产生無限大的摩擦力，因此，在实际气流里，分离区的边界上必定形成無数小渦漩，这些渦漩为气流所帶走。摩擦力的存在也使叶型后緣分离区的压力降低。到了叶型后面，气流迅速地扯平，这就使压强增高起来，出气角減小，並且动能有損失，这种損失和管子突然扩张的損失一样。拉平后的气流各項参数值，可由同时联解連續方程、动量方程和能量方程去求出来(參看 7-7 节)。

7-2. 叶栅中二元不可压位流的理論研究法

叶栅理論有兩個意义重大的命題。其中之一是正命題，給定